

05

© 1991 г.

ОЦЕНКА СТАЦИОНАРНОГО РАДИАЦИОННОГО РАСПУХАНИЯ ДВУХФАЗНОГО МАТЕРИАЛА

Ю. В. Трушин

Проведены оценки скорости радиационного распухания материала с различными типами стоков, исходя из стационарных потоков точечных дефектов. Рассмотрено влияние выпадающих преципитатов на снижение скорости радиационного распухания.

Теоретические расчеты и оценки радиационного распухания материалов выполнялись разными методами [1-12]. В качестве одного из основных механизмов, приводящих к радиационному распуханию, рассматривался и активно обсуждался [5, 6, 13-16] механизм преференса, т. е. предпочтительного поглощения краевыми дислокациями межузельных атомов по сравнению с вакансиями. Основные оценки сделаны, как правило, для одноатомных материалов.

Обширные экспериментальные данные свидетельствуют о существенной роли в явлении распухания гетерогенности состава материала, состояния формирующихся выделений вторичных фаз и т. д. [17-22]. В аналитических расчетах [16, 23-27] показано влияние неоднородностей в распределении точечных радиационных дефектов на радиационное распухание, а также предложена модель аномальной рекомбинации разноименных дефектов в распадающихся под облучением твердых растворах.

Следует сразу же заметить, что под радиационным распуханием материала подразумевается увеличение его объема ΔV при облучении, т. е. $\Delta V = V - V_0$, где V и V_0 — новый и первоначальный объемы материала соответственно.

В настоящей работе предлагается сравнительно простая оценка скорости радиационного распухания материала (в том числе и двухфазного) в режиме установившихся стационарных потоков точечных дефектов. Результаты такого подхода позволяют выявить вклады разных стоков (дислокаций, пор, ловушек, преципитатов) в радиационное распухание и тем самым дать возможность качественно увидеть роль каждого из этих стоков.

Рассмотрим сначала баланс собственных точечных дефектов в простейшем случае одноатомного кристалла, в котором имеются следующие стоки: поры ($q = V$) нейтральные, дислокации ($q = D$) преференциальные, ловушки ($q = Q$), которые могут быть либо нейтральные, либо преференциальные.

Поскольку в [28] показано, что при облучении материалов в реакторе средние концентрации $\hat{C}_j(t)$ собственных точечных дефектов как функции времени t достаточно быстро выходят на свои стационарные значения (т. е. $\partial \hat{C}_j(t)/\partial t = 0$), то будем в дальнейшем работать, как это делает большинство авторов в [1-10], только со средними стационарными концентрациями \bar{C}_j дефектов j ($j = i$ — межузлия, $j = v$ — вакансии). Здесь слово «средние» обозначает «средние по пространству». В таком случае запишем уравнения баланса для пересыщений $C_j = \hat{C}_j - \bar{C}_j$ в виде (рис. 1)

$$\frac{\partial C_i}{\partial t} = g_i - R_{iv} - G_{iv} - G_{id} - G_{iq} = 0, \quad (1)$$

$$\frac{\partial C_v}{\partial t} = g_v - R_{iv} - G_{iv} - G_{vd} - G_{vq} = 0, \quad (2)$$

где C_j^* — термодинамически равновесная концентрация дефектов j , g_j — скорость генерации точечных дефектов типа j , $R_{i\nu}$ — скорость взаимной рекомбинации межузлий и вакансий, G_{jq} — скорость ухода дефектов на стоки q .

Введем по аналогии с [10] величину эффективного дислокационного преференса

$$B_D = (G_{iD} - G_{vD})/G_{iD}. \quad (3)$$

Можно показать [11, 12], что величина G_{jD} имеет вид

$$G_{jD} \approx \alpha_D^{ij} D_j C_j, \quad (4)$$

где α_D^{ij} — преференциальный множитель для дислокации [13, 14], ρ_D — плотность дислокаций, D_j — коэффициент диффузии дефектов j .

Здесь намеренно для более простого сравнения с имеющимися оценками не учтен вклад неоднородного распределения дефектов j около дислокации [13, 16]

в величину G_{jD} в (4). Подставляя (4) в (3), имеем

$$B_D = \left[\alpha_D^{iv} - \alpha_D^{vv} \frac{D_v C_v}{D_i C_i} \right] / \alpha_D^{iv}. \quad (5)$$

Если $D_v C_v = D_i C_i$ [10], то

$$B_D \approx (\alpha_D^{iv} - \alpha_D^{vv}) / \alpha_D^{iv}. \quad (5a)$$

Определим величину скорости радиационного распухания в виде

$$\Delta \dot{V} = G_{vv} - G_{iv}. \quad (6)$$

Здесь не учитываются величины релаксации объемов точечных дефектов как в объеме материала, так и на стоках q . Детальнее об этом изложено в [11, 12]. Кроме того, в дальнейшем для однородного материала будем считать справедливым $g_i \approx g_v \approx g_q$.

Рассмотрим, как наличие ловушек ($q=Q$) разных типов (нейтральные, преференциальные) или их отсутствие влияет на величину скорости радиационного распухания $\Delta \dot{V}$.

Пусть в материале отсутствуют стоки типа $q=Q$ (случай I). Тогда уравнения (1), (2) принимают вид

$$g = R_{iv}^I + G_{iD}^I + G_{iv}^I, \quad (7a)$$

$$g = R_{iv}^I + G_{vD}^I + G_{vv}^I. \quad (7b)$$

Вычитая (7b) из (7a) и учитывая определения (3) и (6), запишем

$$\Delta \dot{V}^I = B_D G_{iD}^I. \quad (8)$$

Складывая выражения (7) и подставляя в сумму (5), (6) и (8), имеем для скорости распухания одноатомного кристалла в случае I

$$\Delta \dot{V}^I = B_D (g - G_{iv}^I - R_{iv}^I). \quad (9)$$

Пусть теперь есть нейтральные ловушки $q=Q$ (случай II). По определению нейтральности стока имеем

$$G_{iq}^{II} = G_{vQ}^{II}. \quad (10)$$

Это означает, что ловушки фактически являются центрами рекомбинации межузлий и вакансий, т. е. происходит усиление рекомбинации по сравнению с обычной скоростью R_{iv} . Поэтому такое усиление можно записать в виде

$$G_{iq}^{II} = G_{vQ}^{II} = \beta R_{iv}^{II}. \quad (10a)$$

Приписывая верхний индекс II (см. (10)) величинам R_{iv} и G_{iq} в (1), (2) и (6), вычитая (2) из (1), а затем складывая их с учетом (3), (6), (10), получим для скорости расщухания в случае II

$$\Delta \dot{V}^{II} = B_D [g - G_{iv}^{II} - (1 + \beta) R_{iv}^{II}]. \quad (11)$$

Из сравнения (9) и (11) уже видна роль нейтральных ловушек как центров рекомбинации в снижении скорости расщухания.

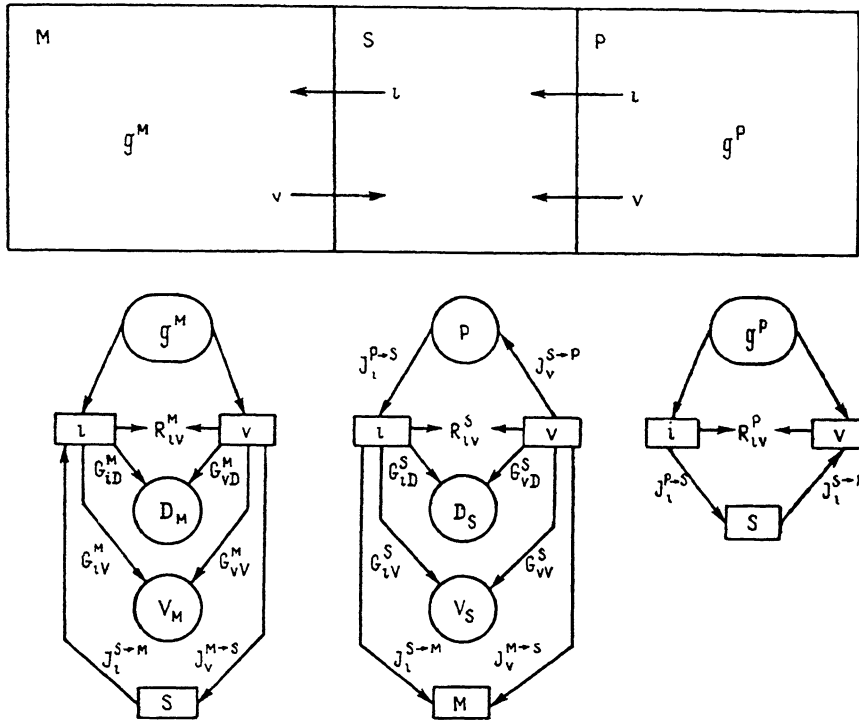


Рис. 2. Схема баланса потоков в разных фазах двухфазного материала, включая поверхность раздела S преципитат (P)—матрица (M).

Пусть теперь ловушки — преференциальные стоки (случай III). Тогда по аналогии с (3) определим их преференс в виде

$$B_Q = (G_{iq}^{III} - G_{*Q}^{III})/G_{*Q}^{III}. \quad (12)$$

Вычитая (2) из (1), учитывая (3), (6), (12) и подставляя в (1), имеем

$$\Delta \dot{V}^{III} = B_D (g - G_{iv}^{III} - R_{iv}^{III}) - (B_D - B_Q) G_{iv}^{III}. \quad (13)$$

Величины B_D во всех трех случаях (I, II, III) будут одинаковы, если не учитывать неоднородности в распределении точечных дефектов около дислокаций и в приближении $D_i C_i = D_j C_j$.

Рассмотрим теперь материал, в котором помимо стоков в виде дислокаций и пор есть еще и преципитаты $q = P$ с объемной долей v_P . Скорости генерации радиационных дефектов обозначим g^M в матрице и g^P в преципитате. Полагаем, что преципитаты малы по размерам и внутри них отсутствуют стоки в виде дислокаций и пор. Однако в преципитатах возможна рекомбинация вакансий и межузлий со скоростью R_{iv}^P и выход на поверхность S преципитата с плотностью потоков $J_{ij}^{P \rightarrow S}$ дефектов.

Будем рассматривать поверхность S раздела преципитат (P)—матрица (M) как отдельную фазу и запишем уравнения баланса для пересыщений C_j^P в трех фазах $F = M, S, P$ (рис. 2) в матрице M

$$\frac{\partial C_i^M}{\partial t} = (1 - v_p) g^M + \frac{S'}{a} J_{i \rightarrow M} - (1 - v_p)(G_{iD}^M + G_{iv}^M + R_{is}^M) = 0, \quad (14)$$

$$\frac{\partial C_s^M}{\partial t} = (1 - v_p) g^M - \frac{S'}{a} J_{s \rightarrow M} - (1 - v_p)(G_{sD}^M + G_{sv}^M + R_{is}^M) = 0, \quad (15)$$

на поверхности

$$\frac{\partial C_i^S}{\partial t} = \frac{S'}{a} (J_{i \rightarrow S}^P - J_{i \rightarrow M}^S) - S' (G_{iD}^S + G_{iv}^S + R_{is}^S) = 0, \quad (16)$$

$$\frac{\partial C_s^S}{\partial t} = \frac{S'}{a} (J_{s \rightarrow S}^P + J_{s \rightarrow M}^S) - S' (G_{sD}^S + G_{sv}^S + R_{is}^S) = 0, \quad (17)$$

в преципитате P

$$\frac{\partial C_i^P}{\partial t} = v_p g^P - \frac{S'}{a} J_{i \rightarrow S}^P - R_{is}^P = 0, \quad (18)$$

$$\frac{\partial C_s^P}{\partial t} = v_p g^P + \frac{S'}{a} J_{s \rightarrow S}^P - R_{is}^P = 0. \quad (19)$$

Здесь a — атомный параметр, S' — поверхностная доля границ раздела преципитат—матрица. Вычитая (19) из (18), получим, что

$$J_{i \rightarrow S}^P = -J_{s \rightarrow P}^S. \quad (20)$$

Однако

$$-J_{s \rightarrow P}^S = J_{s \rightarrow S}^P. \quad (20a)$$

Введем эффективный преференс дислокаций в поверхности по аналогии с (3) в виде

$$B_D^S = (G_{iD}^S - G_{sD}^S)/G_{iD}^S, \quad (21)$$

а также скорость распухания за счет поверхности

$$\Delta \dot{V}_S = G_{sv}^S - G_{iv}^S. \quad (22)$$

При этом для преференса дислокаций в матрице имеем выражение (3), а для скорости распухания за счет объема матрицы выражение (6), где вместо G_{ijg}^F запишем G_{fg}^M .

Из (3), (6), (21) и (22) имеем

$$G_{iD}^F + G_{sD}^F = (2 - B_D^F) G_{iD}^F, \quad (23)$$

$$G_{sv}^F = G_{iv}^F + \Delta \dot{V}_F, \quad (24)$$

где $F = M, S$, а $B_D^M = B_D$.

По аналогии с (20) можно получить

$$J_{i \rightarrow M}^S = -J_{s \rightarrow S}^P. \quad (25)$$

Тогда из (16), (17) с учетом (20), (23)–(25) имеем

$$(1 - v_p) G_{iD}^M = (1 - v_p)(g^M - R_{is}^M - G_{iv}^M) + \frac{S'}{a} J_{i \rightarrow S}^P - S' (G_{iD}^S + R_{is}^S + G_{iv}^S). \quad (26)$$

Определим полную скорость распухания материала в виде

$$\Delta \dot{V} = (1 - v_p) \Delta \dot{V}_M + S' \Delta \dot{V}_S. \quad (27)$$

Тогда с учетом (6) и (22) имеем

$$\Delta \dot{V} = (1 - v_p) B_D G_{iD}^M + S' B_D^S G_{iD}^S. \quad (28)$$

Подстановка (26) в (28) с учетом (18) дает следующее выражение для скорости радиационного распухания двухфазного материала:

$$\Delta \dot{V} = (1 - v_p) B_D (g^M - G_{i,v}^M - R_{i,v}^M) - B_D (R_{i,v}^P + S' R_{i,v}^S - v_p g^P) + \\ + S' (B_D^S - B_D) G_{i,D}^S - S' B_D G_{i,v}^S. \quad (29)$$

Первое слагаемое в (29) описывает скорость распухания за счет изменения объема матрицы, так же как в (9), остальные слагаемые — за счет поверхности преципитатов. Причем во втором слагаемом в качестве генератора межузельных атомов и области их рекомбинации выступает объем преципитатов. Распухание за счет выхода межузельных атомов на дислокации поверхности описывает третье слагаемое. Последнее слагаемое дает вклад в снижение распухания за счет поглощения межузельных атомов поверхностными порами.

Знак третьего слагаемого в (29) определяется знаком разности $B_D^S - B_D$, которую можно записать в виде

$$B_D^S - B_D = \frac{G_{i,D}^M}{G_{i,D}^M} - \frac{G_{i,D}^S}{G_{i,D}^S}. \quad (30)$$

Из (30) видно, что знак $B_D^S - B_D$ будет зависеть от дислокационной структуры в поверхности раздела. Например, если вектор Бюргерса дислокаций в

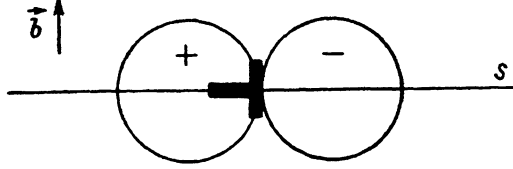


Рис. 3. Пример расположения дислокаций в поверхности раздела преципитат—матрица.

в поверхности ортогонален поверхности (рис. 3), то, используя (23), имеем $G_{i,D}^S/G_{i,D}^M = 1 - B_D^S < 1$, а $G_{i,D}^M/G_{i,D}^S < 1$. Следовательно, из (30) величина $B_D^S - B_D < 0$. Однако, как правило, вклад в $\Delta \dot{V}$ третьего и четвертого слагаемых в (29) мал в силу малости S' .

Таким образом, сравнение полученных оценок (9), (11), (13), (29) для скорости распухания материала с разными стоками выявляет даже для средних стационарных концентраций без учета неоднородностей в распределении дефектов около стоков специфику воздействия на величину $\Delta \dot{V}$ различных по своей природе стоков. Из полученных выражений для $\Delta \dot{V}$ видна тенденция к снижению распухания при определенной структуре исследуемого материала. Учет эффектов неоднородного распределения точечных дефектов около стоков, как следует из [16, 23-27], может еще более усилить эту тенденцию.

Список литературы

- [1] Harkness S. D., Che-Yu-Li // Proc. Symp. on Radilation Damage in Reactor Materials IAEA. Vienna, 1969. Vol. 2. P. 189.
- [2] Brailsford A. D., Bullough R. J. Nucl. Mater. 1972. Vol. 44. P. 121—138.
- [3] Bullough R., Nelson R. S. // Phys. Technol. 1974. Vol. 5. P. 29—67.
- [4] Koehler J. S. // J. Appl. Phys. 1975. Vol. 46. N 5. P. 2423—2429.
- [5] Heald P. T., Speigh H. V. // Acta Met. 1975. Vol. 29. P. 1389—1399.
- [6] Brailsford A. D., Bullough R., Hayns M. R. // J. Nucl. Mater. 1976. Vol. 60. P. 246—256.
- [7] Brailsford A. D., Bullough R. // J. Nucl. Mater. 1978. Vol. 69/70. P. 434—450.
- [8] Brailsford A. D. // J. Nucl. Mater. 1978. Vol. 78. P. 354—361.
- [9] Brailsford A. D. // J. Nucl. Mater. 1981. Vol. 102. P. 54—65.
- [10] Конобеев Ю. В. // Вопросы атомной науки и техники. Сер. Физика радиационных повреждений и рад. материаловедение. 1982. № 3 (22). С. 13—17.
- [11] Трушин Ю. В., Орлов А. Н. // ЖТФ. 1986. Т. 56. Вып. 7. С. 1302—1309.
- [12] Трушин Ю. В. // Вопросы теории дефектов в кристаллах. Л.: Наука, 1987. С. 133—144.
- [13] Маргвелашвили И. Г., Саралидзе З. К. // ФТТ. 1973. Т. 15. Вып. 9. С. 2665—2669.
- [14] Денин Н. А., Конобеев Ю. В., Толстикова О. В. // Вопросы атомной науки и техники. Сер. Физика рад. повреждений и рад. материаловедение. 1982. № 3 (22). С. 13—17.
- [15] Субботин А. В. // Атомная энергия. 1983. Т. 54. № 5. С. 342—346.
- [16] Самсонидзе Г. Г., Трушин Ю. В. // ЖТФ. 1988. Т. 58. Вып. 1. С. 42—51.
- [17] Bates Y. F., Powell R. M. // J. Nucl. Mater. 1981. Vol. 101. P. 200—213.
- [18] Brager H. R. // J. Nucl. Mater. 1973. Vol. 46. P. 134—154.

- [19] Bramman J. I., Brown C. // Proc. Int. Conf. «Irradiation Behaviour of Metallic Materials for Fast Reactor Core Components». France. 1979. P. 155.
- [20] Little E. A. // J. Nucl. Mater. 1979. Vol. 87. P. 25–39.
- [21] Arkell D. R., Williams T. M. // J. Nucl. Mater. 1978. Vol. 74. P. 144–150.
- [22] Горынин И. В., Паршин А. М. // Атомная энергия. 1981. Т. 50. № 5. С. 319–324.
- [23] Самсонидзе Г. Г., Орлов А. Н., Трушин Ю. В. // ФММ. 1983. Т. 55. № 4. С. 676–684.
- [24] Трушин Ю. В., Помпе В. // Письма в ЖТФ. 1985. Т. 11. Вып. 7. С. 393–397.
- [25] Orlov A. N., Samsonidze G. G., Trushin Yu. V. // Rad. Effects. 1986. Vol. 97. P. 45–66.
- [26] Орлов А. Н., Самсонидзе Г. Г., Трушин Ю. В. // ЖТФ. 1986. Т. 56. Вып. 7. С. 1311–1318.
- [27] Трушин Ю. В. ЖТФ. 1987. Т. 57. Вып. 2. С. 226–231.
- [28] Печенкин В. А. // ЖТФ. 1982. Т. 52. Вып. 9. С. 1712–1720.

Физико-технический институт
им. А. Ф. Иоффе АН СССР
Ленинград

Поступило в Редакцию
20 февраля 1990 г.